

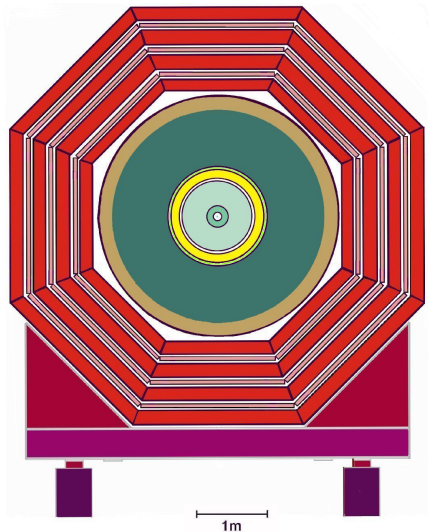
Исследование процесса распада $J/\psi \rightarrow \rho\eta$ и
 $J/\psi \rightarrow \phi\eta$ на эксперименте с детектором КЕДР

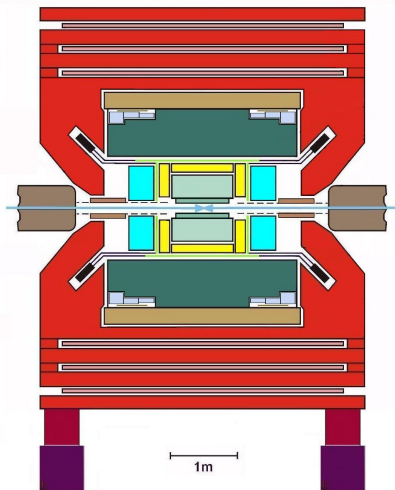
Кыштымов Дмитрий
и коллаборация КЕДР

Сессия-конференция секции ядерной физики ОФН РАН
17 — 21 февраля 2025

ИЯФ СО РАН, г. Новосибирск
D.A.Kyshtymov@inp,nsk.su

- 1 Детектор КЕДР
- 2 Процесс $J/\psi \rightarrow \rho\eta$
 - Идея анализа
 - Условия отбора
 - Результаты
 - Оценка неопределённостей
- 3 Процесс $J/\psi \rightarrow \phi\eta$
 - Условия отбора
 - Результаты
 - Оценка неопределённостей
- 4 Заключение





Детектор состоит из:

- Вершинный детектор
- Дрейфовая камера
- Аэрогелевые счетчики
- Сцинтилляционные счетчики
- LKr калориметр
- CsI калориметр
- Мюонная система

Процесс $J/\psi \rightarrow \rho\eta$

Процесс $J/\psi \rightarrow \rho\eta$

- Процесс $J/\psi \rightarrow \rho\eta$ является доминирующей модой распада в $J/\psi \rightarrow \pi^+\pi^-\eta$, измерение бранчинга распада в $\rho\eta$ осуществлялось в 1988 и 1990 годах на детекторах MARK-III и DM2
- $J/\psi \rightarrow \pi^+\pi^-\eta$ измерялся BaBar при помощи ISR и BES-III

$$\text{BES-III: } (3.78 \pm 0.68) \times 10^{-4}$$

$$\text{BaBar: } (4.2 \pm 0.8) \times 10^{-4}$$

$$\text{PDG: } (3.8 \pm 0.7) \times 10^{-4}$$

$$J/\psi \rightarrow \pi^+\pi^-\eta$$

$$\text{MARK-III: } (1.93 \pm 0.13 \pm 0.29) \times 10^{-4}$$

$$\text{DM2: } (1.94 \pm 0.17 \pm 0.29) \times 10^{-4}$$

$$\text{PDG: } (1.93 \pm 0.23) \times 10^{-4}$$

$$J/\psi \rightarrow \rho\eta$$

$$Br(\rho \rightarrow \pi^+\pi^-) \simeq 100\%$$

$$Br(\eta \rightarrow \gamma\gamma) = (39.36 \pm 0.18)\%$$

Ожидается значительная интер. с процессом $J/\psi \rightarrow \omega\eta$, несмотря на малую вероятность распада

$$Br(\omega \rightarrow \pi^+\pi^-) = (1.53^{+0.11}_{-0.13})\%$$

Был обнаружен резонанс

$$J/\psi \rightarrow \rho(1450)\eta$$

В силу большого

$$Br(J/\psi \rightarrow \omega\eta) = (1.74 \pm 0.20) \times 10^{-3} / 21$$

$$\frac{d\sigma}{d\Gamma} = |a + be^{i\phi}|^2 = |a|^2 + |b|^2 + ab^*e^{-i\phi} + a^*be^{i\phi}$$

$$a = (p_{\pi^+} \times p_{\pi^-}) \sin\theta_n \frac{m_\rho^2}{q^2 - m_\rho^2 + iq\Gamma_\rho(q^2)} - \text{Амплитуда распада}$$

$$\Gamma(q^2) = \Gamma \left(\frac{p_{\pi(q^2)}}{p_{\pi(m_\rho^2)}} \right)^3 \left(\frac{m_\rho^2}{q^2} \right) - \text{Ширина}$$

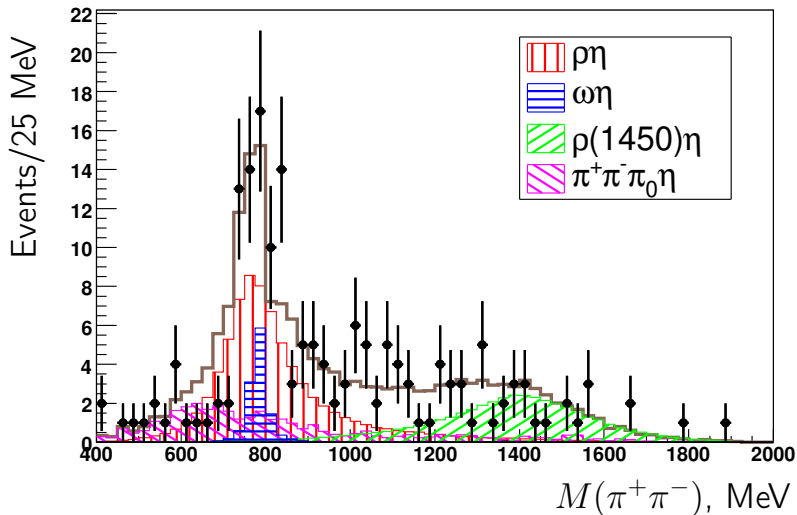
$$\begin{aligned} ab^*e^{-i\phi} + a^*be^{i\phi} = & \frac{2(p_{\pi^+} \times p_{\pi^-})^2 \sin^2\theta_n m_\rho^2 m_\omega^2 (q^4 + m_\rho^2 m_\omega^2 + q^2 \Gamma_\rho \Gamma_\omega)}{((q^2 - m_\rho^2)^2 + q^2 \Gamma_\rho^2) ((q^2 - m_\omega^2)^2 + q^2 \Gamma_\omega^2)} \cos\phi \\ & - \frac{2(p_{\pi^+} \times p_{\pi^-})^2 \sin^2\theta_n m_\rho^2 m_\omega^2 q^2 (m_\rho^2 + m_\omega^2)}{((q^2 - m_\rho^2)^2 + q^2 \Gamma_\rho^2) ((q^2 - m_\omega^2)^2 + q^2 \Gamma_\omega^2)} \cos\phi \\ & + \frac{2(p_{\pi^+} \times p_{\pi^-})^2 \sin^2\theta_n m_\rho^2 m_\omega^2 (q^3 \Gamma_\omega + q \Gamma_\rho m_\omega^2)}{((q^2 - m_\rho^2)^2 + q^2 \Gamma_\rho^2) ((q^2 - m_\omega^2)^2 + q^2 \Gamma_\omega^2)} \sin\phi \\ & - \frac{2(p_{\pi^+} \times p_{\pi^-})^2 \sin^2\theta_n m_\rho^2 m_\omega^2 (q^3 \Gamma_\rho + q \Gamma_\omega m_\rho^2)}{((q^2 - m_\rho^2)^2 + q^2 \Gamma_\rho^2) ((q^2 - m_\omega^2)^2 + q^2 \Gamma_\omega^2)} \sin\phi \end{aligned}$$

$$\begin{aligned} N_{sim} = & N_\rho \varepsilon_\rho H_\rho + N_\omega \varepsilon_\omega H_\omega + \\ & + \sqrt{N_\rho N_\omega} (\varepsilon_{\cos^+} H_{\cos^+} - \varepsilon_{\cos^-} H_{\cos^-}) \cos(\phi) \\ & + \sqrt{N_\rho N_\omega} (\varepsilon_{\sin^+} H_{\sin^+} - \varepsilon_{\sin^-} H_{\sin^-}) \sin(\phi) + \dots \end{aligned} \quad \varepsilon \approx 17\%$$

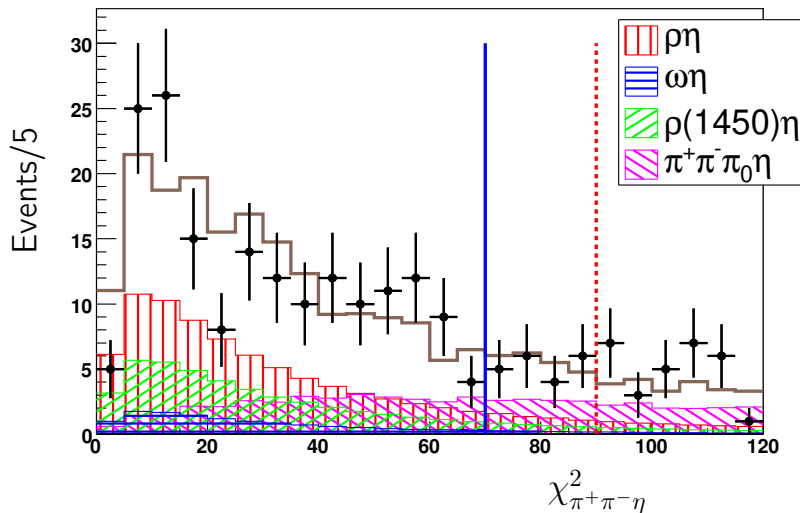
Подгонка осуществлялась при помощи максимизации функции L :

$$L = -2 \sum (N_{th} - N_{exp} + N_{exp} \ln(N_{exp}/N_{th}))$$

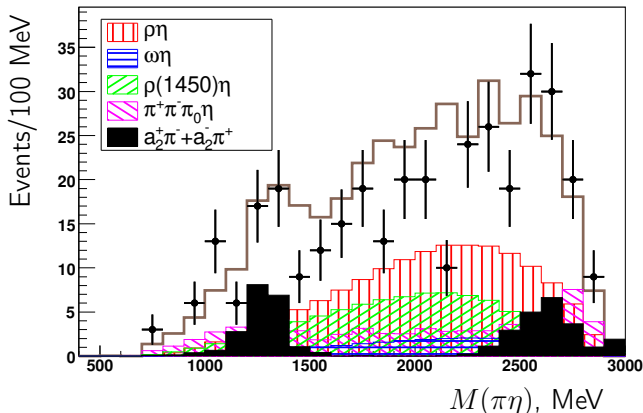
- 1 $\chi^2 < 70$
- 2 $\chi^2 < \chi^2_{K+K-\eta}$, для разделения π/K событий
- 3 $0.4 < \text{Cos}(\theta_{\gamma\gamma})$, подавляет фон от $\rho\pi$
- 4 $500 < M_{\gamma\gamma} < 600$, $M_{\gamma\gamma}$ — инвариантная масса двух свободных фотонов
- 5 $N_{cl} < 3$, подавляет фон от $\pi^+\pi^-\pi_0\eta$



Подгонка инвариантной массы двух пионов с учетом интерференции
 $(L/Ndf = 53/42)$, 25 МэВ в бине



Подгонка χ^2 кинематической реконструкции с учетом интерференции
($L/Ndf = 29/23$)



Подгонка $M(\eta\pi)$, чёрной гистограммой показан вклад от $a_2\pi$. Все параметры за исключением $a_2\pi$ и ΔM фиксированы ($L/Ndf = 43/19$)
 Для данного процесса $J/\psi \rightarrow (a_2^+\pi^- + a_2^-\pi^+) \rightarrow \pi^+\pi^-\eta < 1.41 \times 10^{-3}$
 с вероятностью 90%

Результат при фиксированном $Br(J/\psi \rightarrow \omega\eta)$:

- 1 $Br(J/\psi \rightarrow \rho\eta) = (2.28 \pm 0.69 \pm 0.28) \times 10^{-4}$ ($N_\rho = 74$)
- 2 $Br(J/\psi \rightarrow \omega\eta) = 2.352 \times 10^{-3}$ ($N_\omega = 12$ fixed)
- 3 $Br(J/\psi \rightarrow \rho(1450)\eta \rightarrow \pi^+\pi^-\eta) =$
 $1.65 \pm 0.77 \pm 0.70 \times 10^{-4}$ ($N_{\rho(1450)} = 34$)
- 4 $Br(J/\psi \rightarrow \pi^+\pi^-\eta) = 4.58 \pm 1.49 \pm 0.97 \times 10^{-4}$
($N_{total} = 137$)
- 5 $\phi_{\rho-\omega} = (85.1 \pm 7.5 \pm 6.8)^\circ$
- 6 $\phi_{\rho-\rho(1450)} = (182.2 \pm 43.4 \pm 33.8)^\circ$
- 7 $\Delta M = (3.65 \pm 5.78 \pm 3.60)$ МэВ

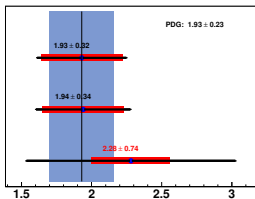
Оценка неопределённостей в $Br(J/\psi \rightarrow \rho\eta)$, условия отбора

Критерий	Отбор	Вариация	$\Delta N/N$, %	Неопр., %
χ^2	$\chi^2 < 70$	$\chi^2 < 90$	6.7	4.4
$\chi^2_{K^+K^-\eta}$	$\chi^2 < \chi^2_{K^+K^-\eta}$	$\chi^2 < 0.9\chi^2_{K^+K^-\eta}$	0.4	< 0.1
$\text{Cos}(\theta_{\gamma\gamma})$	$0.4 < \text{Cos}(\theta_{\gamma\gamma})$	$0.2 < \text{Cos}(\theta_{\gamma\gamma})$	9.5	6.4
$M_{\gamma\gamma}$	$500 < M_{\gamma\gamma} < 600$	$450 < M_{\gamma\gamma} < 650$	2.3	2.0
N_{cl}	$N_{cl} < 3$	$N_{cl} < 4$	19.5	2.0
Сумма	—	—	—	8.3

Вариация условий отбора для процесса $\rho\eta$. Неопр. — неопределённость, вносимая в процесс $\rho\eta$

Оценка неопределённостей в $Br(J/\psi \rightarrow \rho\eta)$

MARK-III, 1988

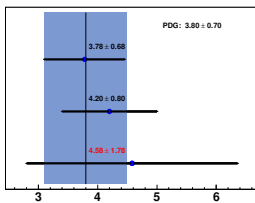


DM2, 1990

KEDR, 2025

$Br(J/\psi \rightarrow \rho\eta) \times 10^4$

BES-III, 2019



BaBar, 2018

KEDR, 2025

$Br(J/\psi \rightarrow \pi^+ \pi^- \eta) \times 10^4$

Источник	Неопр., %
Отклик детектора	0.7
Ядерное взаимодей.	1.4
Моделирование	0.4
$\chi(t)$ калибровка	3.0
π/K разделение	4.3
$Br(J/\psi \rightarrow \omega\eta)$	2.0
Число J/ψ	1.1
$Br(\eta \rightarrow \gamma\gamma)$	0.5
Стат. от эффект.	2.1
Стаб. подгонки	0.1
Физический фон	5.8
Форма фона $\pi^+ \pi^- \pi_0 \eta$	3.1
Условия отбора	8.3
Итог. ошибка	12.3

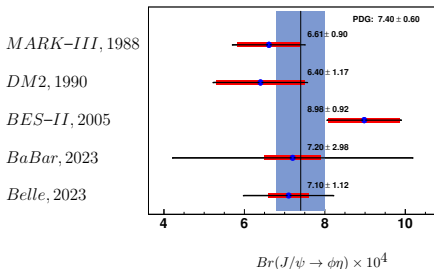
Процесс $J/\psi \rightarrow \phi\eta$

Процесс $J/\psi \rightarrow \phi\eta$

- $J/\psi \rightarrow \phi\eta$ измерялся Belle и BaBar при помощи ISR в 2023, BES-II в 2005, DM2 в 1990 и MARK-III в 1988

- Belle: $(7.1 \pm 1.0 \pm 0.5) \times 10^{-4}$
($N_{\phi\eta} \approx 99$, 2023)
- BaBar: $(7.2 \pm 2.9 \pm 0.9) \times 10^{-4}$
($N_{\phi\eta} \approx 149$, 2023)
- BES-II: $(8.99 \pm 0.18 \pm 0.89) \times 10^{-4}$
($N_{\phi\eta} \approx 500 - 1000$, 2005)
- DM2: $(6.4 \pm 0.4 \pm 1.1) \times 10^{-4}$
($N_{\phi\eta} \approx 346$, 1990)
- MARK-III:
 $(6.61 \pm 0.45 \pm 0.78) \times 10^{-4}$
($N_{\phi\eta} \approx 200 - 300$, 1988)

PDG:
 $(7.4 \pm 0.6) \times 10^{-4}$
 $J/\psi \rightarrow \phi\eta$



$$Br(\phi \rightarrow K^+K^-) = (49.1 \pm 0.5)\%$$

$$Br(\eta \rightarrow \gamma\gamma) = (39.36 \pm 0.18)\%$$

Моделирование процесса: $\frac{d\sigma}{d\Gamma} = |A|^2 + |B|^2$

$$A = (p_{K^+} \times p_{K^-}) \sin\theta_n \frac{m_\phi^2}{q^2 - m_\phi^2 + iq\Gamma_\phi(q^2)}$$

$$\Gamma(q^2) = \Gamma \left(\frac{p_\pi(q^2)}{p_\pi(m_\phi^2)} \right)^3 \left(\frac{m_\phi^2}{q^2} \right)$$

$$N_{sim} = N_{\phi\eta} \varepsilon_{\phi\eta} H_{\phi\eta} + N_{K^+K^-\eta} \varepsilon_{K^+K^-\eta} H_{K^+K^-\eta}$$

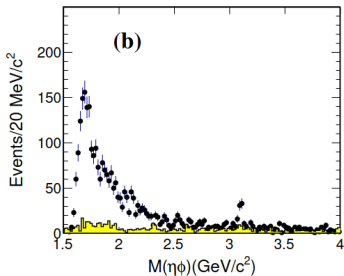
$$\varepsilon_{\phi\eta} \approx 9\%$$

1 $\chi^2 < 70$

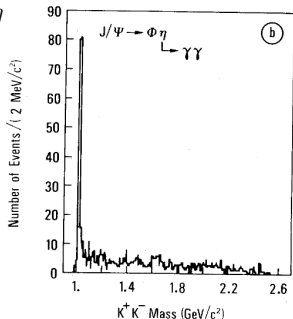
2 $\chi^2 < \chi^2_{\pi^+\pi^-\eta}$

3 $500 < M_{\gamma\gamma} < 600$

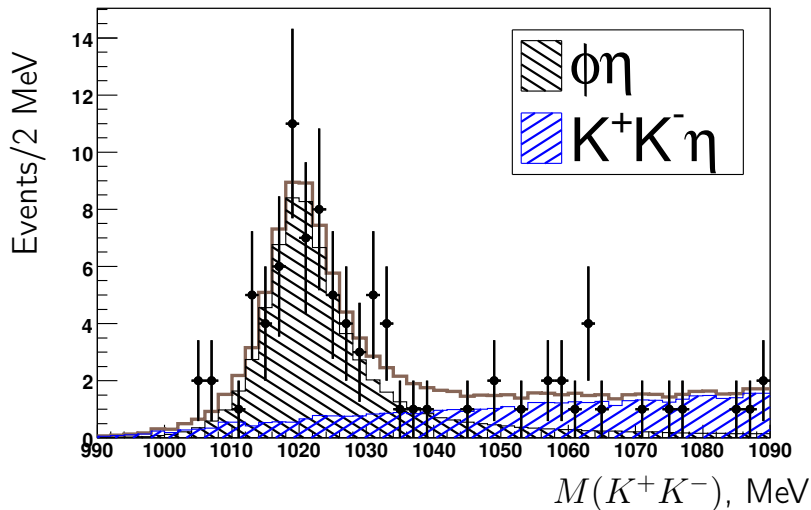
4 $N_{cl} < 3$



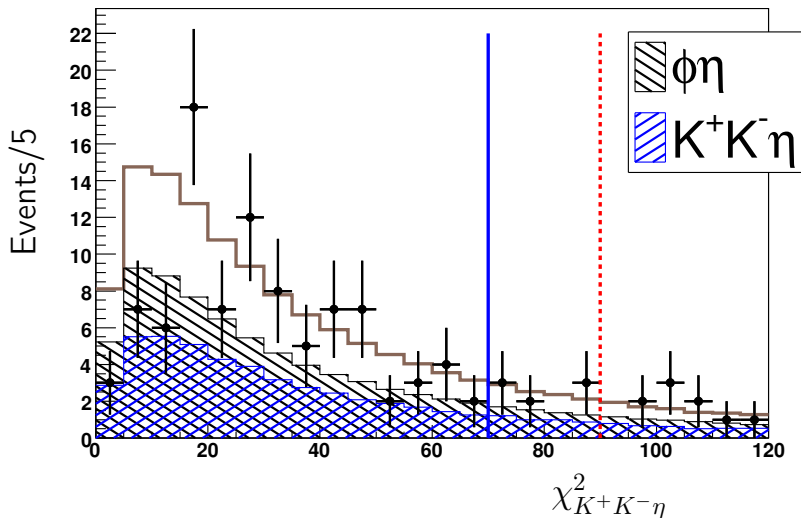
Масса $\phi\eta$ в измерении Belle в моде $\eta \rightarrow \gamma\gamma$



Масса ϕ в измерении DM2



Подгонка инвариатной массы двух каонов с учетом интерференции
 ($L/Ndf = 15/28$), 2 МэВа в бине



Подгонка χ^2 ($L/Ndf = 25/21$)

Оценка неопределённостей в $Br(J/\psi \rightarrow \phi\eta)$, условия отбора

Критерий	Отбор	Вариация	$\Delta N/N$, %	Неопр., %
χ^2	$\chi^2 < 70$	$\chi^2 < 90$	8.5	1.2
$\chi^2_{\pi^+\pi^-\eta}$	$\chi^2 < \chi^2_{\pi^+\pi^-\eta}$	$\chi^2 < 0.9\chi^2_{\pi^+\pi^-\eta}$	0.4	0.3
$M_{\gamma\gamma}$	$500 < M_{\gamma\gamma} < 600$	$450 < M_{\gamma\gamma} < 650$	3.5	2.4
N_{cl}	$N_{cl} < 3$	$N_{cl} < 6$	34.4	2.4
Сумма	—	—	—	3.6

Вариация условий отбора для процесса $\phi\eta$. Неопр. — неопределённость, вносимая в процесс $\phi\eta$

Оценка неопределённостей в $Br(J/\psi \rightarrow \phi\eta)$

MARK-III, 1988

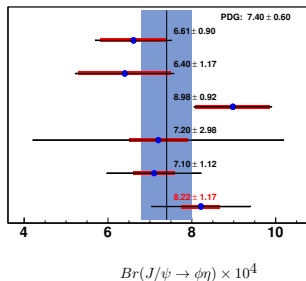
DM2, 1990

BES-II, 2005

BaBar, 2023

Belle, 2023

KEDR, 2025



- $Br(J/\psi \rightarrow \phi\eta) =$
 $(8.22 \pm 1.08 \pm 0.56) \times 10^{-4}$
 $(N_\phi = 62)$

Источник	Неопр., %
Отклик детектора	0.7
Ядерное взаим.	3.0
Моделирование	0.6
$\chi(t)$ калибровка	3.0
π/K разделение	0.2
$Br(\phi \rightarrow K^+K^-)$	1.0
Число J/ψ	1.1
$Br(\eta \rightarrow \gamma\gamma)$	0.5
Стат. от эффект.	0.6
Физический фон	3.3
Условия отбора	3.6
Итог. ошибка	6.8

- Точность измерений бранчингов для $J/\psi \rightarrow \pi^+ \pi^- \eta$, $J/\psi \rightarrow \rho \eta$ и $J/\psi \rightarrow \phi \eta$ сопоставимы с предыдущими измерениями
- Впервые был измерен бранчинг распада $J/\psi \rightarrow \rho(1450) \eta \rightarrow \pi^+ \pi^- \eta$
- Был посчитан 90% CL для бранчинга распада $J/\psi \rightarrow (a_2^+ \pi^- + a_2^- \pi^+) \rightarrow \pi^+ \pi^- \eta < 1.41 \times 10^{-3}$

Результаты измерений:

- $Br(J/\psi \rightarrow \rho \eta) = (2.28 \pm 0.69 \pm 0.28) \times 10^{-4}$ ($N_\rho = 74$)
- $Br(J/\psi \rightarrow \pi^+ \pi^- \eta) = 4.58 \pm 1.49 \pm 0.97 \times 10^{-4}$
($N_{total} = 136$)
- $Br(J/\psi \rightarrow \rho(1450) \eta \rightarrow \pi^+ \pi^- \eta) = 1.65 \pm 0.77 \pm 0.70 \times 10^{-4}$ ($N_{\rho(1450)} = 34$)
- $Br(J/\psi \rightarrow \phi \eta) = 8.22 \pm 1.08 \pm 0.56 \times 10^{-4}$ ($N_\phi = 62$)

Благодарю за внимание!

Дополнительные материалы

Параметры детектора КЕДР

Дрейфовая камера:

- Внутренний радиус: 125 мм
- Наружный радиус: 535 мм
- Длина: 1100 мм
- Количество аксиальных суперслоев: 4
- Количество стерео суперслоев: 3
- Число измерений: 42
- Число ячеек: 252
- Пространственное разрешение: 150 мкм
- dE/dx : 8.2%

CsI калориметр:

- Полярный угол: (6 - 38) градусов мм
- Толщина калориметра: 30 см ($15 X_0$)
- Энергетическое разрешение для 0.1 ГэВ: 3%
- Энергетическое разрешение для 1 ГэВ: 2.5%
- Угловое разрешение для 0.1 ГэВ: 18 мрад
- Угловое разрешение для 1 ГэВ: 9 мрад

LKr калориметр:

- Полярный угол: (38 - 142) градусов мм
- Внутренний радиус: 75 см
- Толщина калориметра: 68 см ($14.8 X_0$)
- Энергетическое разрешение для 0.1 ГэВ: 6%
- Энергетическое разрешение для 1 ГэВ: 2.5%
- Угловое разрешение для 0.1 ГэВ: 4 мрад
- Угловое разрешение для 1 ГэВ: 4 мрад

$$Br(\pi^+\pi^-\eta) = (3.8 \pm 0.8) \times 10^{-4}$$

$$Br(\rho\eta) = (1.93 \pm 0.23) \times 10^{-4}$$

$$Br(\omega\eta) = (1.74 \pm 0.2) \times 10^{-3}$$

$$Br(\rho\pi) = (1.69 \pm 0.15) \times 10^{-2}$$

$$Br(\phi\eta) = (7.4 \pm 0.8) \times 10^{-4}$$

$$Br(\rho(1450)\pi \rightarrow 3\pi) = (2.3 \pm 0.7) \times 10^{-3}$$

$$Br(\pi^+\pi^-\pi_0\eta) = (1.17 \pm 0.2) \times 10^{-2}$$

$$Br(\omega\pi_0) = (4.5 \pm 0.5) \times 10^{-3}$$

$$Br(\omega\pi_0\pi_0) = (3.4 \pm 0.8) \times 10^{-3}$$

$$Br(\omega\eta\pi_0) = (3.4 \pm 1.7) \times 10^{-4}$$

$$Br(\rho(1450)\eta' \rightarrow 2\pi\eta') = (3.3 \pm 0.7) \times 10^{-6}$$

$$Br(\rho \rightarrow \pi^+\pi^-) \approx 100\%$$

$$Br(\omega \rightarrow \pi^+\pi^-) = (1.53 \pm 0.13) \times 10^{-2}$$

$$Br(\eta \rightarrow \gamma\gamma) = (39.36 \pm 0.18) \times 10^{-2}$$

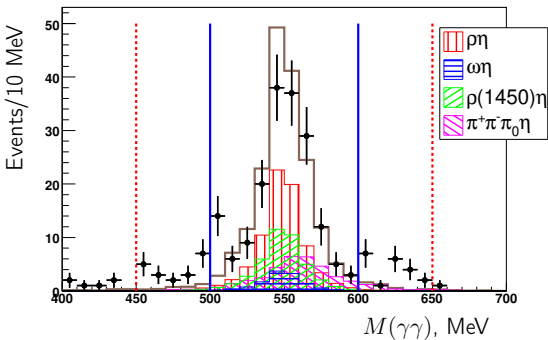
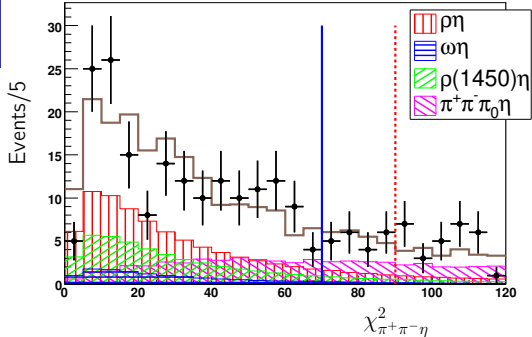
$$Br(\pi_0 \rightarrow \gamma\gamma) = (98.823 \pm 0.034) \times 10^{-2}$$

$$Br(\phi \rightarrow K^+K^-) = (49.1 \pm 0.5) \times 10^{-2}$$

$$Br(\eta' \rightarrow \gamma\gamma) = (2.307 \pm 0.033) \times 10^{-2}$$

Результаты $\rho\eta$

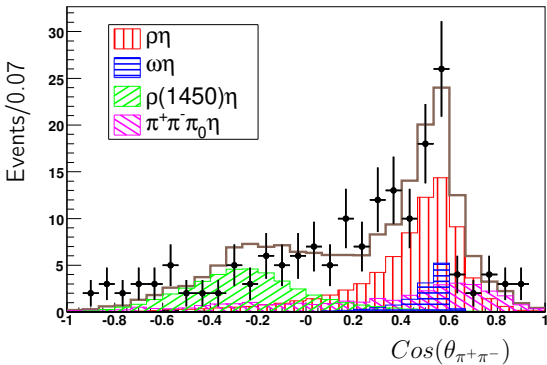
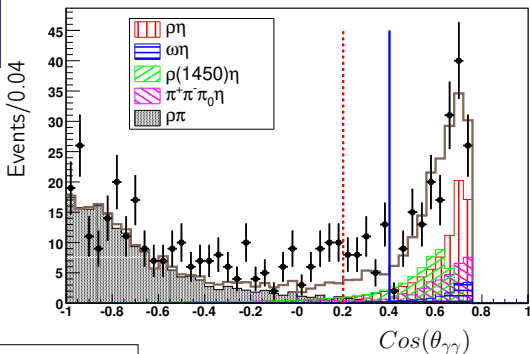
χ^2 кинематической реконструкции



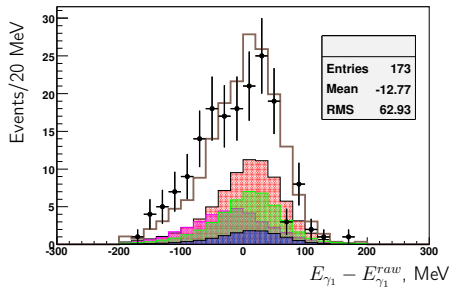
⇐ Инвариантная масса двух свободных фотонов

Результаты $\rho\eta$

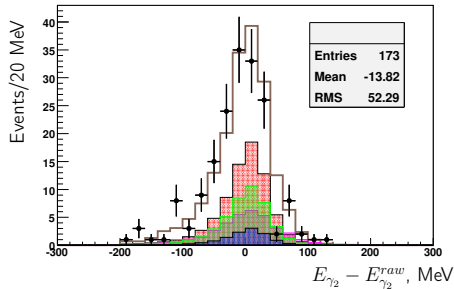
Угол между двумя фотонами \Rightarrow



\Leftarrow Угол между двумя пионами



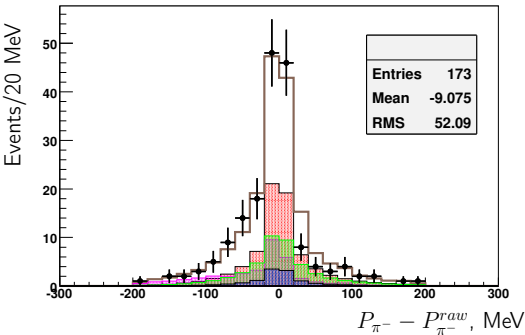
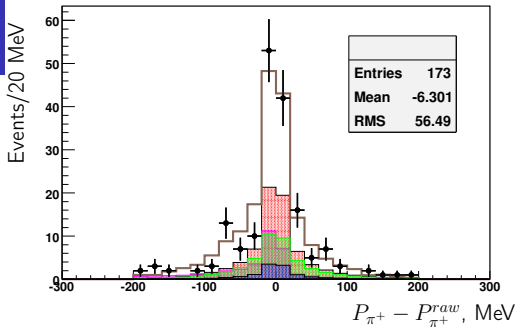
Точность реконструкции энергии
первого фотона



Точность реконструкции энергии
второго фотона

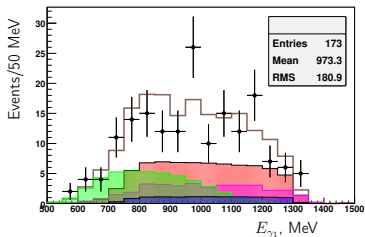
Результаты $\rho\eta$

Точность рек. попереч. импульса π^+

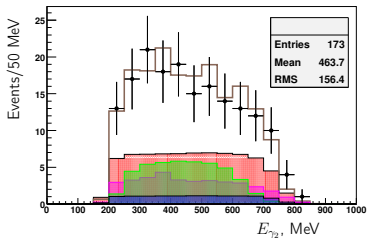


⇐ Точность рек. попереч. импульса π^-

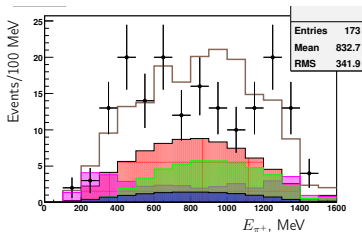
Результаты $\rho\eta$



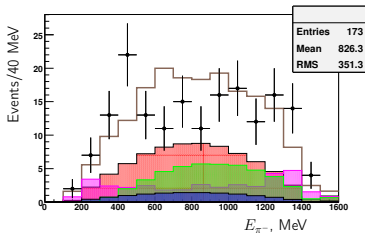
Энергия первого фотона



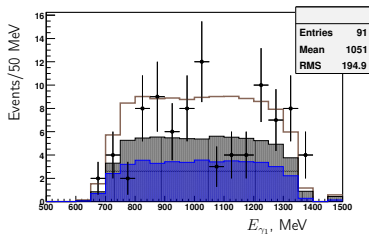
Энергия второго фотона



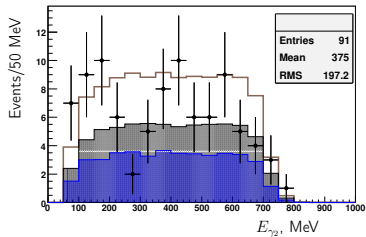
Энергия π^+



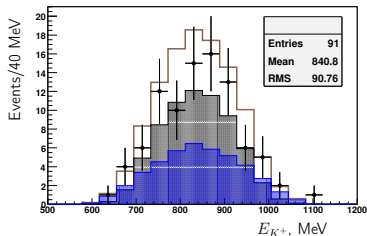
Энергия π^-



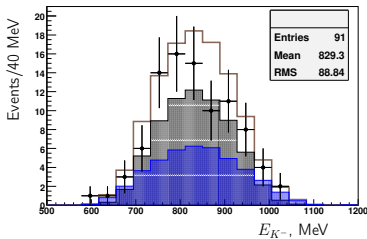
Энергия первого фотона



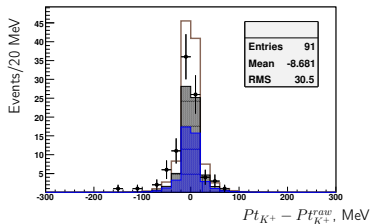
Энергия второго фотона



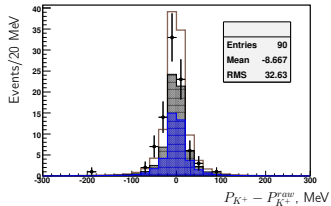
Энергия K^+



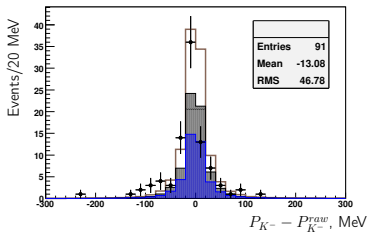
Энергия K^-



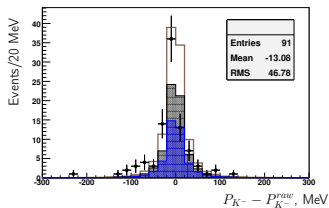
Точность рек. попереч. импульса K^+



Точность рек. импульса K^+



Точность рек. попереч. импульса K^-



Точность рек. импульса K^-